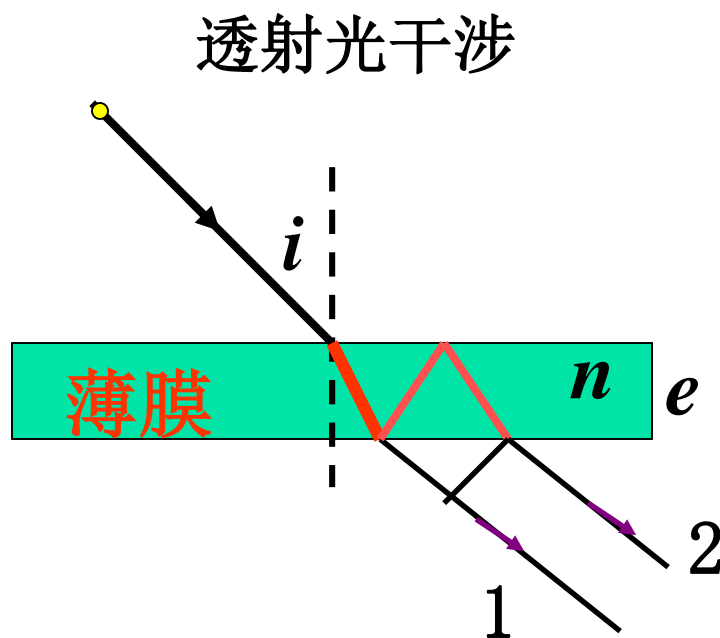
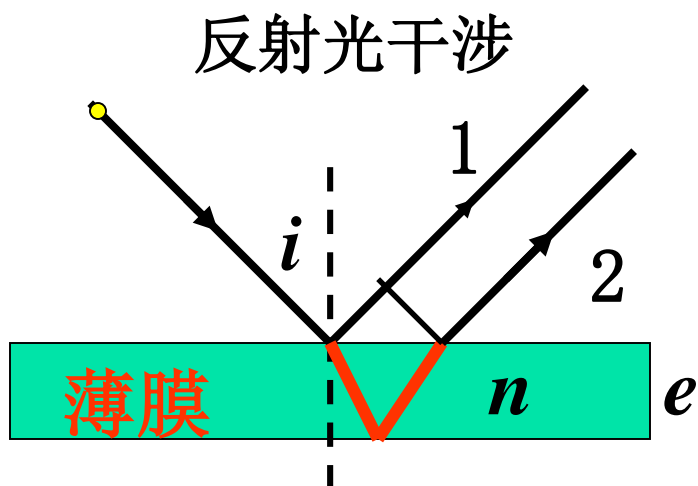
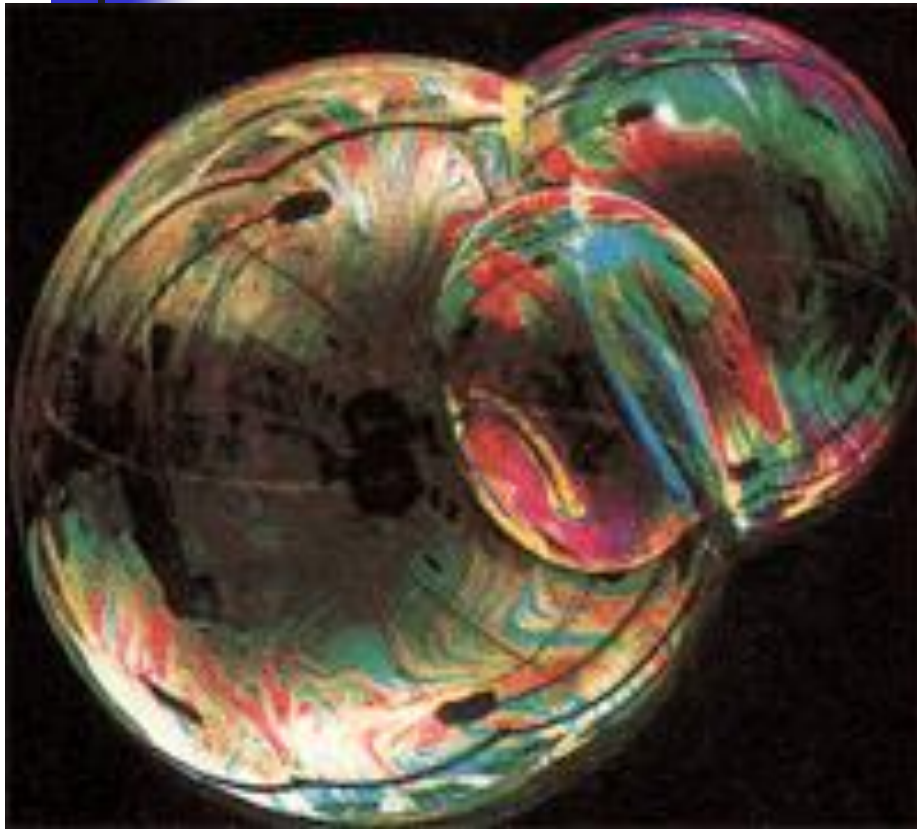


## § 2.5 薄膜干涉

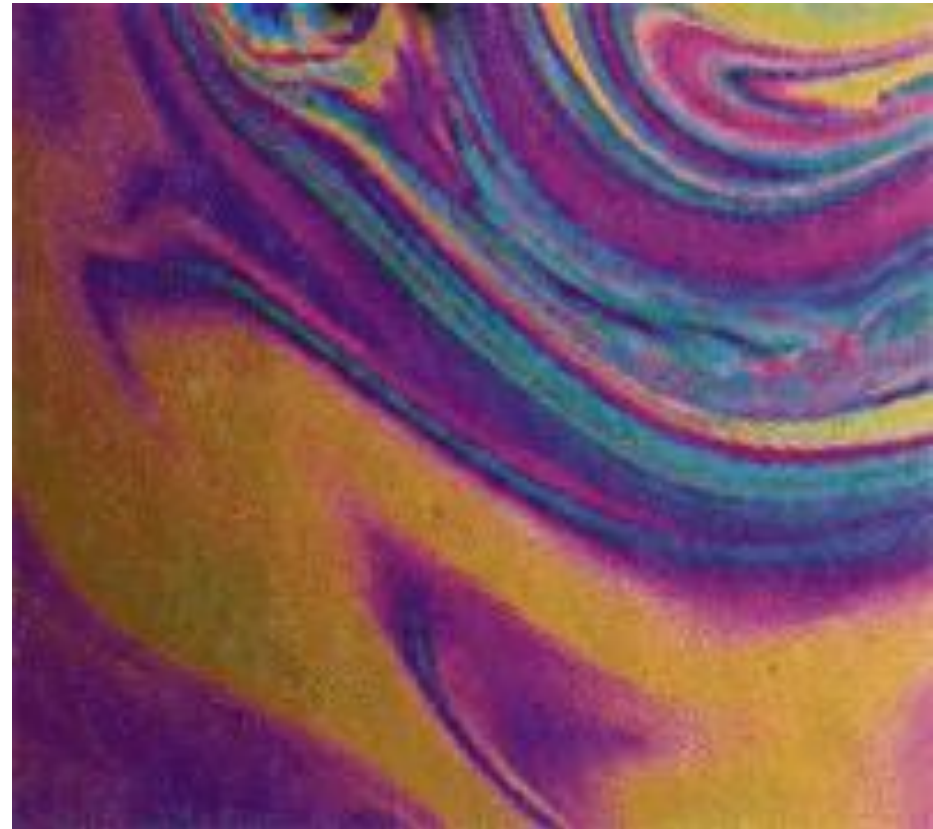
- 入射光射至薄膜表面时，产生反射和折射。反射光和折射光由入射光分振幅（能量）



## § 2.5 薄膜干涉



彩色的肥皂泡



彩色油膜

- 反射和折射中的1,2光有固定的相差，是相干的
- 在杨氏干涉中，叠加区的任意位置均能观察到干涉条纹，称之为**非定域干涉**；若是在叠加区只有特定位置才能观察到干涉现象的情况，称为**定域干涉**。
- **薄膜干涉对光源的要求**



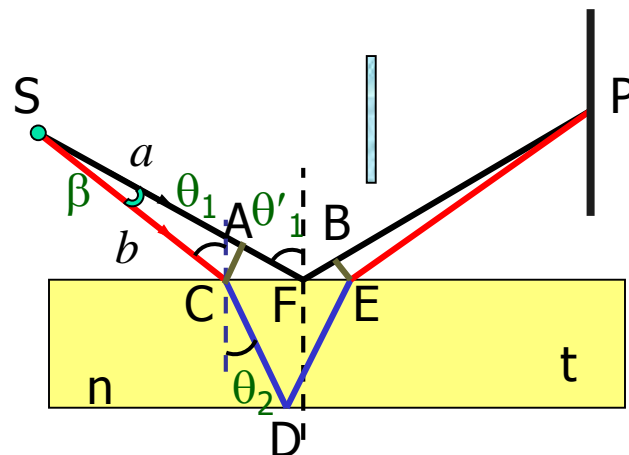
## ■ 1. 点光源

在叠加区任一P点必有反射光a以及与a夹角 $\beta$ 的b光的折射光通过。

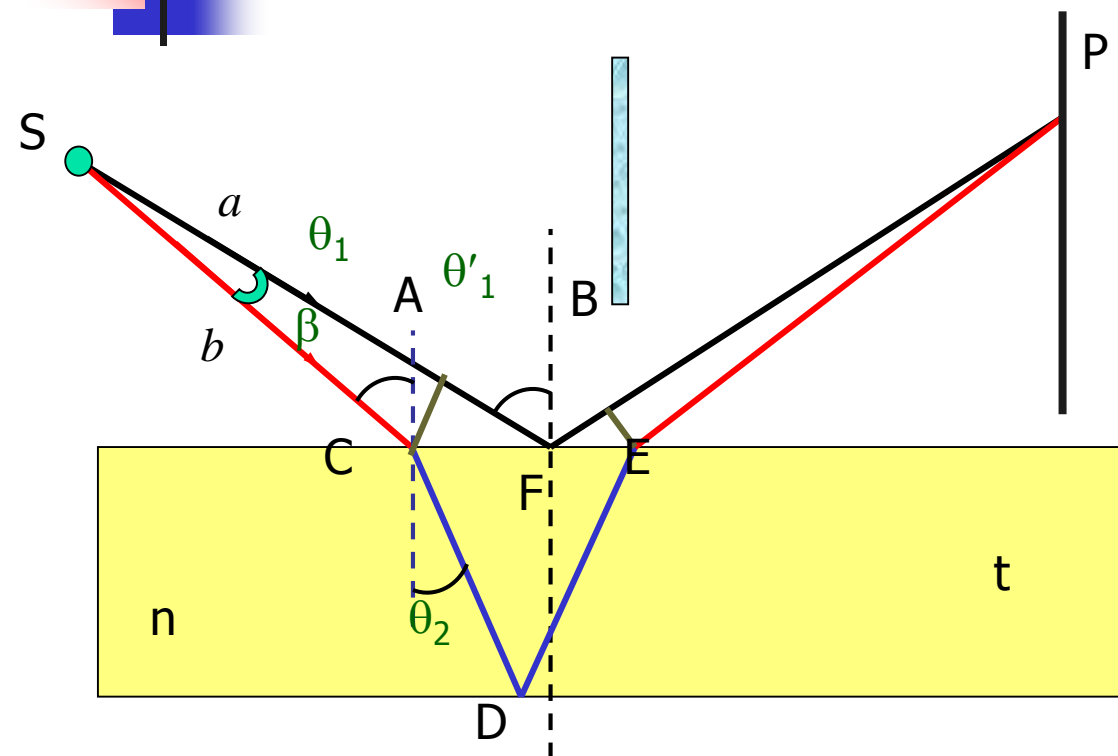
**a光与b光为相干光**

P点一定， $\beta$ 也就一定，光程差就一定。由于P点选取的任意性，在叠加区任放一观察屏，即能观察到干涉条纹

**点光源的薄膜干涉是非定域干涉**



## § 2.5 薄膜干涉



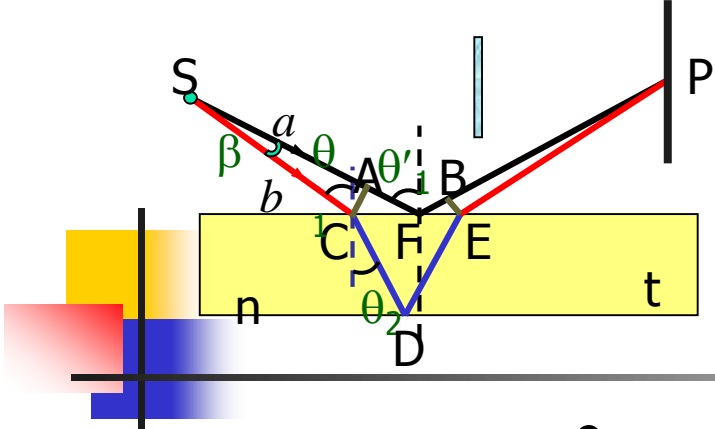
ii ° 定量地，计算 $\Delta L$

$$\Delta L = n(CD + DE) - (AF + BF) + \frac{\lambda}{2}$$

$$\begin{aligned} CD &= DE \\ &= \frac{t}{\cos \theta_2} \end{aligned}$$

$$\begin{aligned} AF + BF &= CE \sin \theta'_1 \\ &= 2t \tan \theta_2 \sin \theta'_1 \end{aligned}$$

$\lambda/2$ 是入射光在不同介质面反射时带来的光程差（相位差 $\pi$ ）。



## § 2.5 薄膜干涉

$$\therefore \Delta L = \frac{2nt}{\cos \theta_2} - 2t \sin \theta'_1 \frac{\sin \theta_2}{\cos \theta_2} + \frac{\lambda}{2}$$

$$\theta'_1 = \theta_1 + \beta, \quad \sin \theta_1 = n \sin \theta_2$$

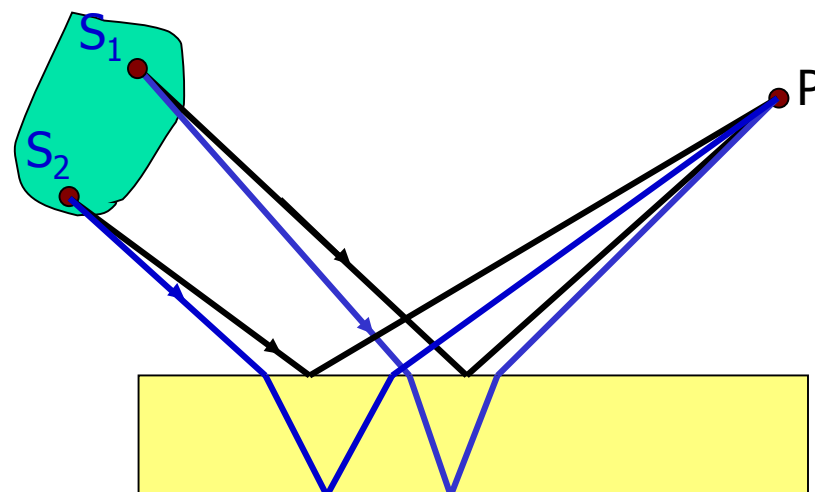
$$\Delta L = \frac{2nt}{\sqrt{1 - \frac{\sin^2 \theta_1}{n^2}}} \left[ 1 - \frac{\sin \theta_1}{n^2} \sin(\theta_1 + \beta) \right] + \frac{\lambda}{2}$$

- $\Delta L$ 由 $\theta_1$ 、 $\beta$ 决定，对不同的P点，有不同但恒定的 $\theta_1$ 、 $\beta$ 。  
 ➔ P点的光程差是恒定的，因此有干涉条纹，属**非定域干涉**  
**(delocalized)**。

## ■ 2. 非点光源

i° 实际光源由无数点光源组成，每个点光源在P点均有相干叠加，相互独立。

P点的总光强为各点光源进行非相干的干涉条纹叠加。

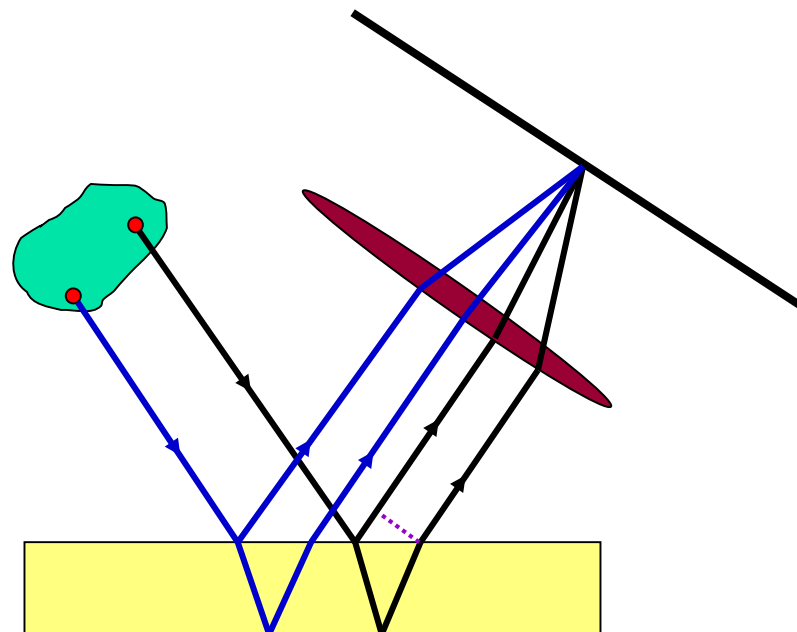


无法观察到干涉现象

- ii ° 能否有方法观察干涉
- 反射光与折射光的光程差为

$$\Delta L = \frac{2nt}{\sqrt{1 - \frac{\sin^2 \theta_1}{n^2}}} \left[ 1 - \frac{\sin^2 \theta_1}{n^2} \right] + \frac{\lambda}{2}$$

$$= 2nt \sqrt{1 - \frac{\sin^2 \theta_1}{n^2}} + \frac{\lambda}{2}$$

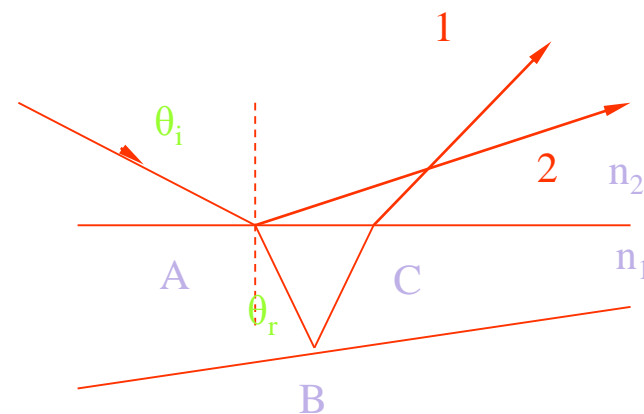


$\Delta L$ 只与入射角 $\theta_1$ 有关，与光源无关；各点光源的相干条纹具有一致性，即各点光源的相干条纹的非相干叠加不会破坏条纹本身；条纹亮度加大；属于定域干涉，定域中心在无穷远处。



## § 2.5 薄膜干涉

- iii° 厚度一定的薄膜，其光程差只由入射角决定。即干涉条纹只随入射角的变化而变化。这种干涉叫等倾干涉。



对于厚度不等的契性膜，平行光入射，反射光和折射光将在薄膜表面附近相交而形成干涉条纹，这时的光程差由厚度决定，称为等厚干涉。

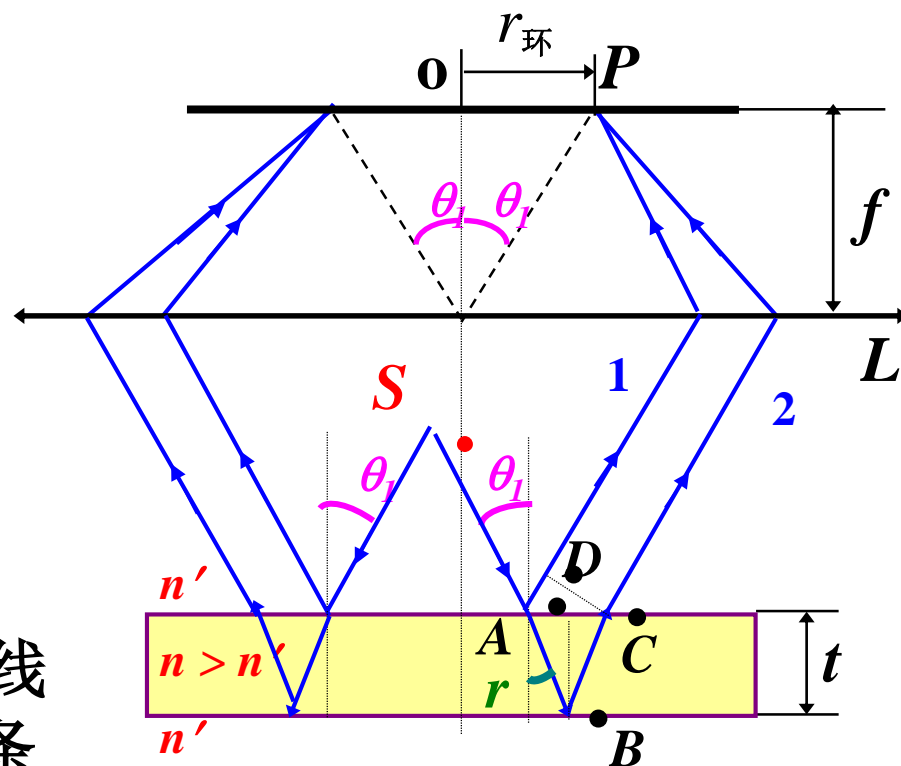
## § 2.6 等倾条纹和等厚条纹

### ■ 1. 等倾条纹

两相干光的光程差为

$$\begin{aligned}\Delta L &= 2nt\sqrt{1 - \frac{\sin^2 \theta_1}{n^2}} + \frac{\lambda}{2} \\ &= 2nt \cos \theta_2 + \frac{\lambda}{2}\end{aligned}$$

满足 $\theta_1$ （或 $\theta_2$ ）相等的光线具有相同的光程差，干涉条纹为同心圆。



## § 2.6 等倾条纹和等厚条纹

■  $i^\circ$  面光源

只要入射角 $\theta_1$ 相同，都将汇聚在同一个干涉环上（非相干叠加）

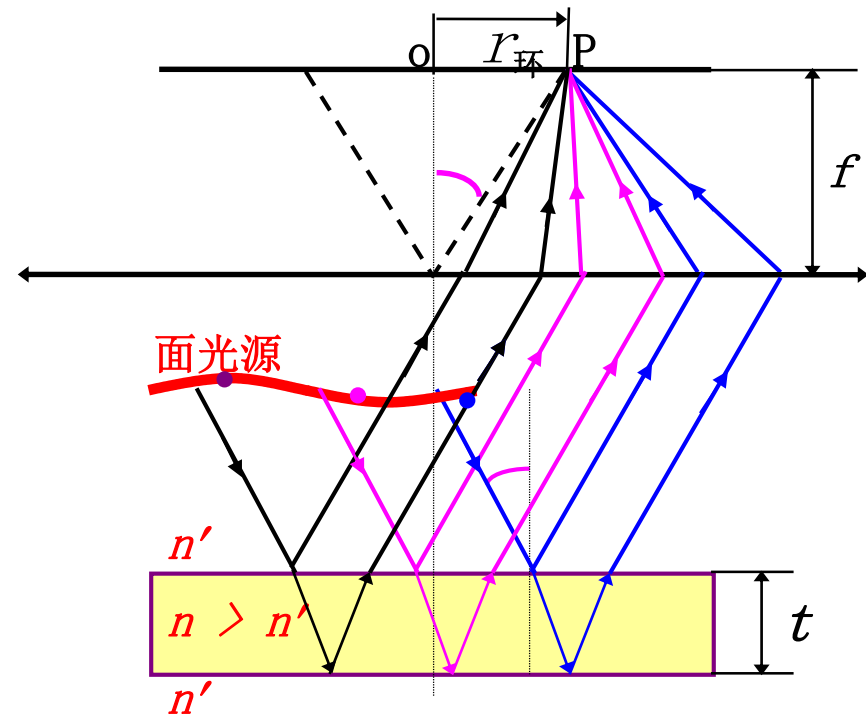
对于中点O，有 $\theta_1 = \theta_2 = 0$

$$\Delta L = 2nt + \lambda/2$$

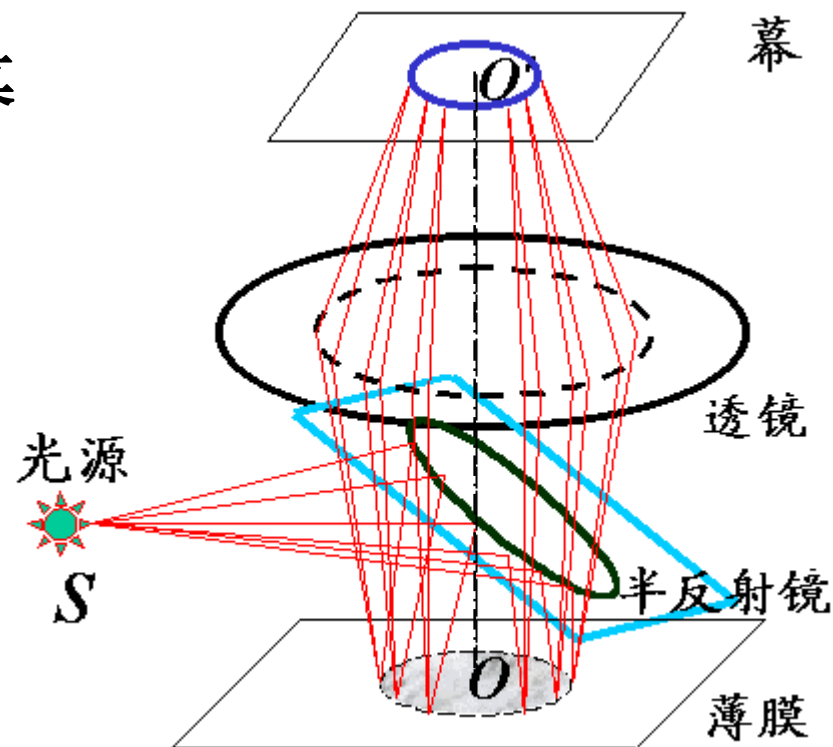
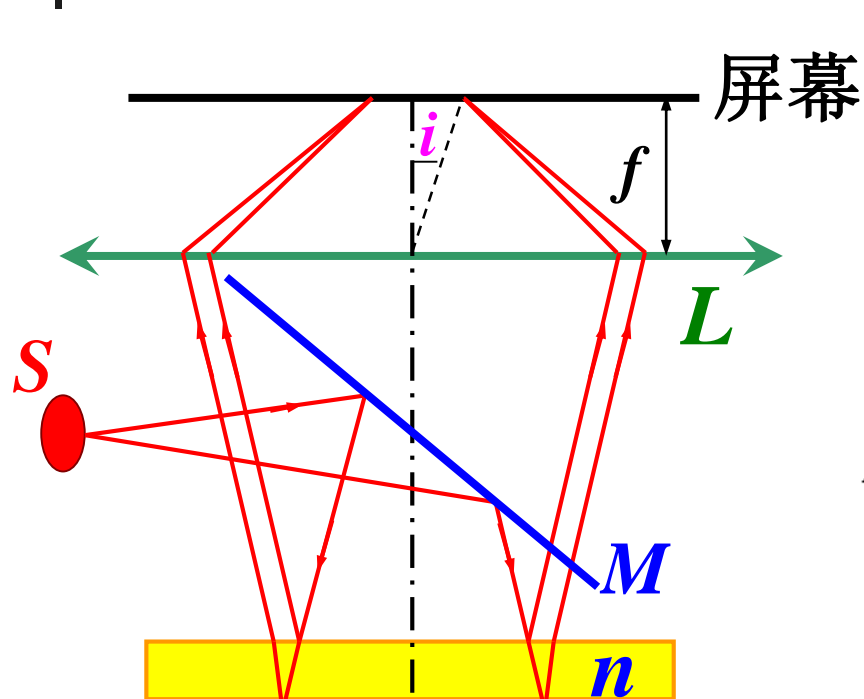
当 $\Delta L = k\lambda$ ，亮点；

当 $\Delta L = (2k+1)\lambda/2$ ，暗点。

只取决于厚度 $t$



## § 2.6 等倾条纹和等厚条纹



观察等倾条纹的实验装置和光路

- ii ° 条纹的间距（以亮条纹为例， $\Delta L = k\lambda$ ）

$$k\lambda = 2nt \cos \theta_2 + \frac{\lambda}{2}$$

对上式两边微分，得：

$$\Delta k \lambda = -2nt \sin \theta_k \Delta \theta$$

则对相邻明环有

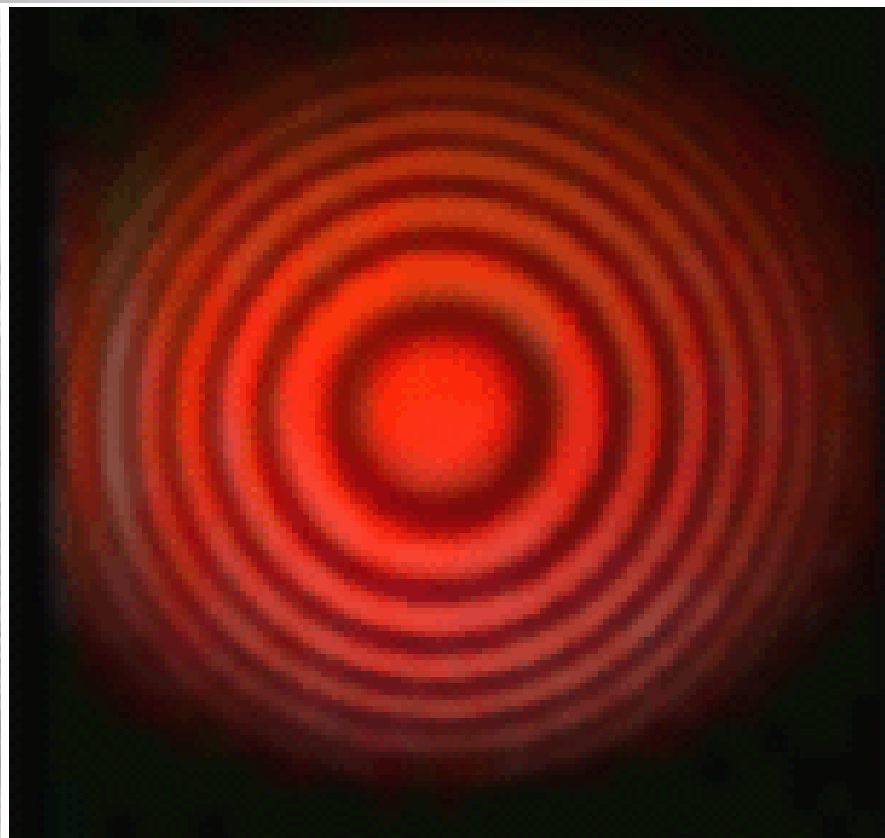
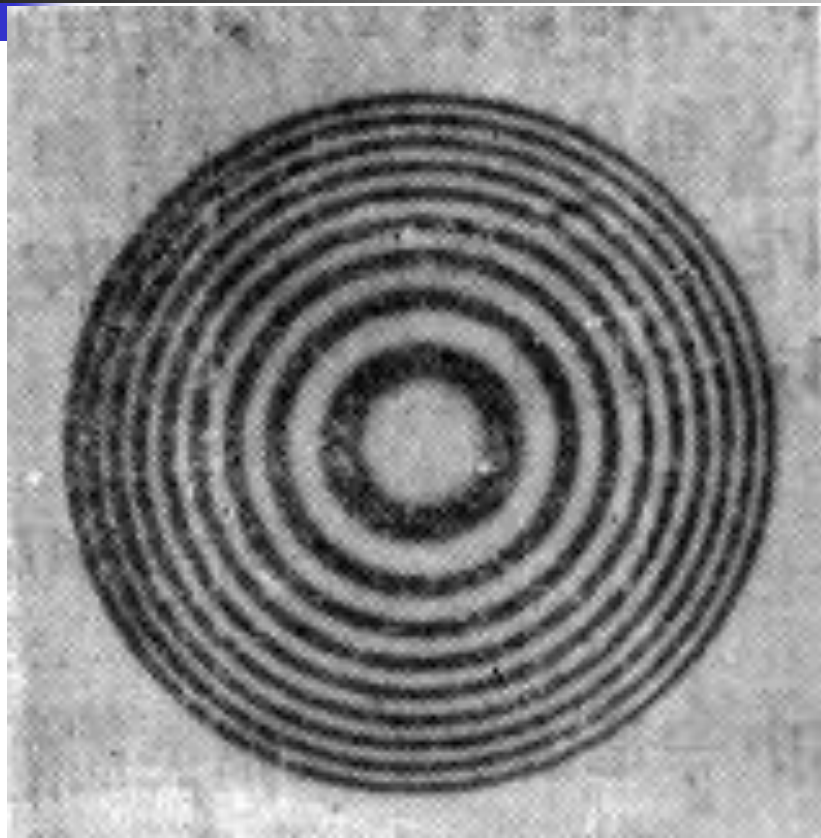
$$\Delta \theta = \theta_{k+1} - \theta_k = -\frac{\lambda}{2nt \sin \theta_k}$$

### ■ 讨论

$$\Delta\theta = \theta_{k+1} - \theta_k = -\frac{\lambda}{2nt \sin \theta_k}$$

- 负号表明： $\theta_{k+1} < \theta_k$   
(级次越高的环的角半径越小。)
- $\theta_2$ 越大， $\Delta\theta$ 的绝对值越小  
(离中心越远的地方，环越密。)
- $t$ 越大， $\Delta\theta$ 的绝对值越小  
(越厚的膜产生的环越密。)

## § 2.6 等倾条纹和等厚条纹



等倾条纹照相

■ iii° 膜厚改变时，条纹环的移动

定性分析

由  $\Delta L = 2nt \cos \theta_2 + \frac{\lambda}{2}$  看，当  $t$  增加时，要保持  $\Delta L$  不变， $\cos \theta_2$  应减小，即  $\theta_2$  需增大。因此，具有原来的光程差的点则向外移动。

定量分析

计算一特定  $(k)$  明环角半径  $\theta_2$  随厚度  $t$  的变化规律

$$k\lambda = 2nt \cos \theta_2 + \frac{\lambda}{2} \quad \text{两边微分，得}$$

$$\Delta t = t_k \tan \theta_k \Delta \theta$$

$$\Delta t \text{ 增大} \Rightarrow |\Delta \theta| \text{ 增大}$$



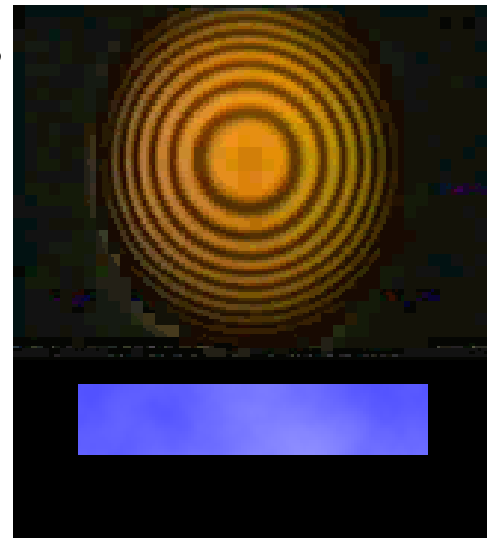
## ■ 结论:

- 当膜**加厚**（**减薄**）时，各级干涉条纹半径增大（减小），即**从中心不断冒出**（**陷入**）**新条纹**。
- 当干涉图样**每冒出一个环时**，中心处的光程差则改变一个波长，而**薄膜厚度则改变 $1/2n$ 个波长**。因此，由干涉条纹冒出的数目即可知膜厚的变化。

中心明环随 $t$ 的变化规律:

$$\Delta t = \frac{\lambda}{2n}$$

$$\Delta L = 2nt + \lambda/2$$



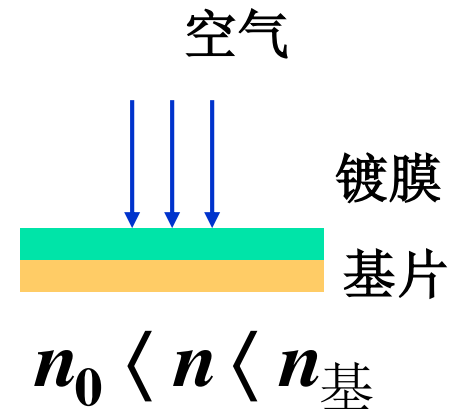
## ■ 应用：增透(射)膜和增反射膜

光学系统在透射的同时，反射光将把部分能量反射掉。

例：冕牌玻璃 $n=1.5$ ，4%；

火石玻璃 $n=1.67$ ，6%；10面45%！

利用等倾干涉使得某个波长相干相消，可实现**增透**；相干相长可实现**增反**。



无论增透增反，薄膜厚度有严格要求，且只对单一波长。

## § 2.6 等倾条纹和等厚条纹

- 单层介质膜的材料一般采用氟化镁 ( $\text{MgF}_2$ ,  $n=1.38$ )

由两反射光干涉相消的条件:

$$2nt = (2k+1)\lambda/2$$

可得薄膜的最小厚度为

$$t = \lambda/4n$$

**例:** 相机镜头的氟化镁膜  $n=1.38$ , 为使  $550\text{nm}$  增透, 问厚?

解: 垂直入射光近似, 由上式得最小厚度

$$t = \lambda/4n = 99.6 \text{ nm}$$

由于两次反射均发生在光疏至光密界面, 因而无半波损失。



## § 2.6 等倾条纹和等厚条纹

- 增反的原理与增透一样，这时光程差应为 $k\lambda$ 。

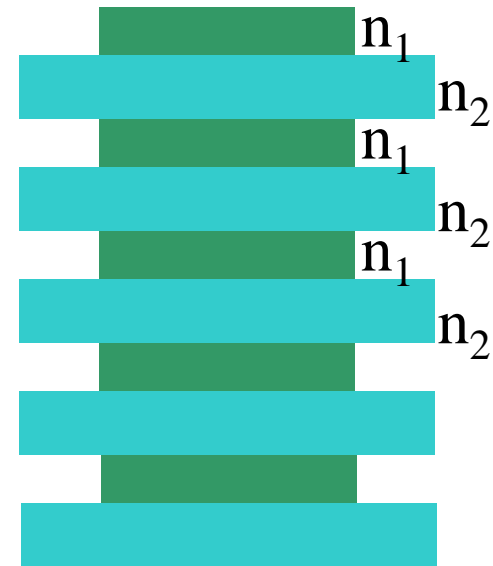
例：氦氖激光器中的谐振腔反射镜，要求对波长 $\lambda=6328\text{\AA}$ 的单色光反射率达99%以上，为此在反射镜的玻璃表面上交替镀上 ZnS ( $n_1=2.35$ )和低折射率的材料  $\text{MgF}_2$  ( $n_2=1.38$ ) 共十三层，求每层膜的实际厚度？

分析：实际使用中，光线垂直入射；有半波损失。

解：  $\Delta L = 2nt + \lambda/2 = k\lambda \quad k = 1, 2, 3 \dots$

ZnS的最小厚度  $t_1 = \frac{(2k-1)\lambda}{4n_1} \Big|_{k=1} = 67.3\text{nm}$

MgF的最小厚度  $t_2 = \frac{(2k-1)\lambda}{4n_2} \Big|_{k=1} = 114.6\text{nm}$





## § 2.6 等倾条纹和等厚条纹

举例：在空气中垂直入射的白光从肥皂膜上反射，在可见光谱中  $6300\text{\AA}$  处有一干涉极大，在  $5250\text{\AA}$  处有一干涉极小，在这极大与极小间没有另外的极小。假定膜的厚度是均匀的，肥皂膜的折射率为 **1.33**，试问这膜的厚度是多少 *mm*？

解：薄膜干涉的极大和极小条件分别为：

$$\begin{cases} 2nt + \frac{\lambda_1}{2} = k\lambda_1 \\ 2nt + \frac{\lambda_2}{2} = (2k+1)\frac{\lambda_2}{2} \end{cases}$$

（因为极大与极小尖没有另外的极小， $\therefore$ 两式中为同一值）。

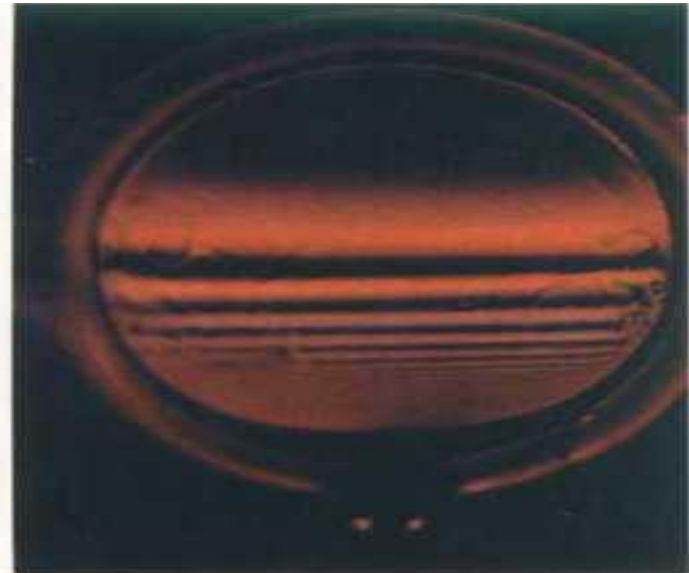
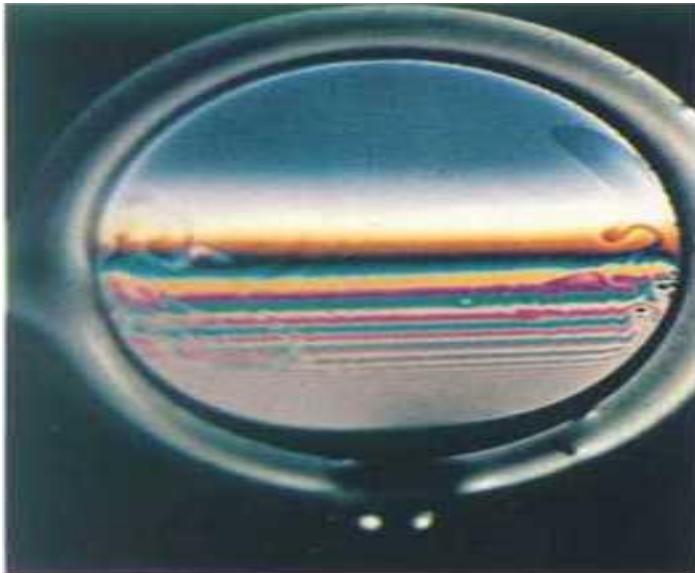
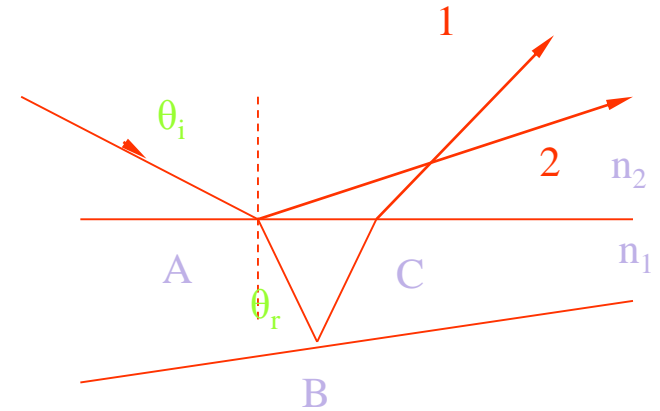
解之可得：

$$k = \frac{\lambda_1}{2(\lambda_1 - \lambda_2)} = \frac{6300}{2(6300 - 5250)} = 3$$

$$\therefore t = \frac{k\lambda_2}{2n} = 5,921\text{\AA} = 592.1\text{nm}.$$

## § 2.6 等倾条纹和等厚条纹

- 2. 等厚干涉
  - 等厚干涉是定域干涉



B. Interference produced by reflecting white light from a soap film. The picture on the right shows the pattern produced by red light.

## § 2.6 等倾条纹和等厚条纹

- i ° 定量讨论单色扩展光源

$$\Delta L = n(AB + BC) - DC + \lambda/2$$

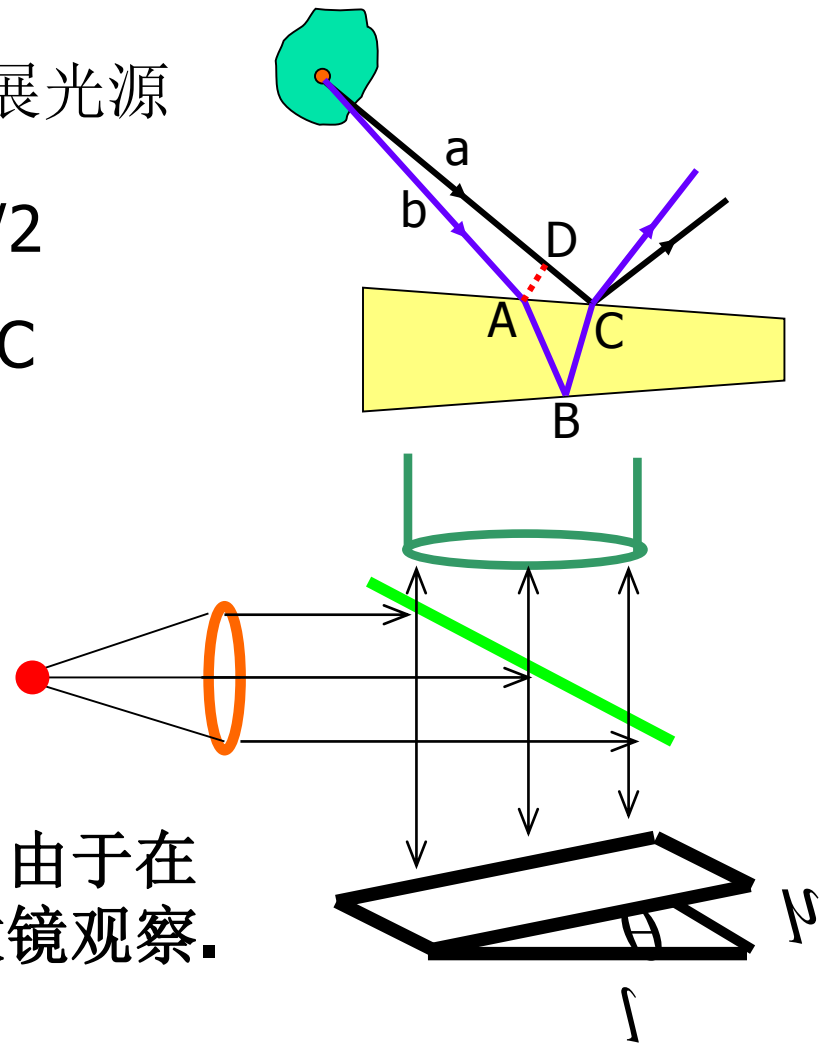
一般夹角很小，有  $AB \approx BC$

$$\therefore \Delta L = 2nec \cos \theta_2 + \lambda/2$$

对于一般的垂直入射光，

$$\Delta L = 2ne + \lambda/2$$

等厚干涉的观察与等倾干涉类似，由于在膜面产生干涉，可直接用眼或显微镜观察。



## § 2.6 等倾条纹和等厚条纹

- $\Delta L$ 只与厚度 $e$ 有关，对于 $e$ 一定的地方， $\Delta L$ 一定，干涉强弱亦一定。所以，契性膜的干涉条纹是直条纹。

### 条纹间距

由光程差公式

$$2ne_m + \frac{\lambda}{2} = m\lambda$$

$$2ne_{m+1} + \frac{\lambda}{2} = (m+1)\lambda$$

$$\Delta l \approx \frac{\Delta e}{\theta}$$

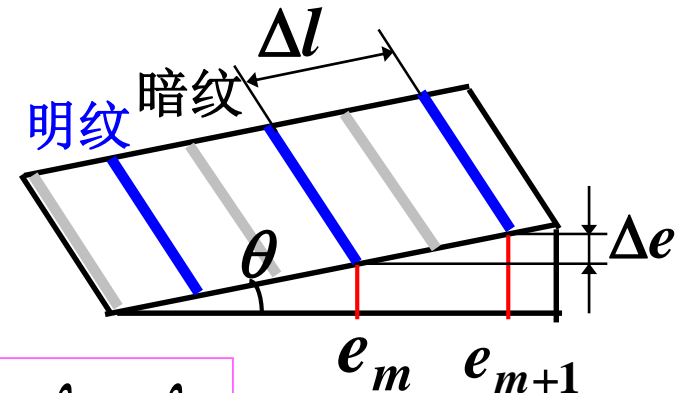
$$2n\Delta e = \lambda$$

$$\Delta e = \frac{\lambda}{2n} = \frac{\lambda_n}{2}$$

条纹间距

$$\Delta l \approx \frac{\lambda}{2n\theta}$$

相邻条纹的厚度差





## § 2.6 等倾条纹和等厚条纹

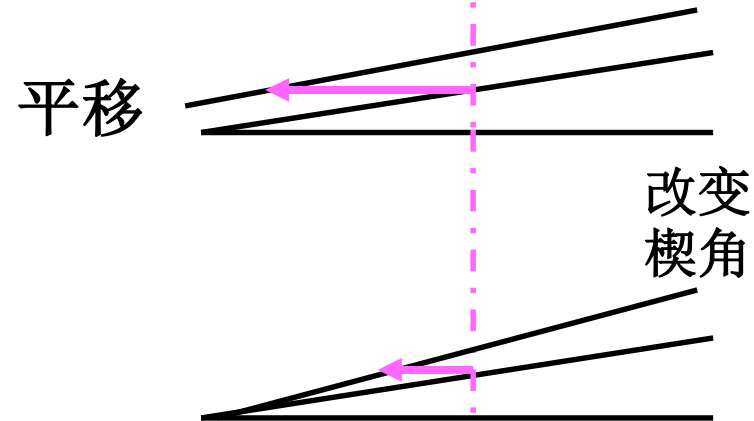
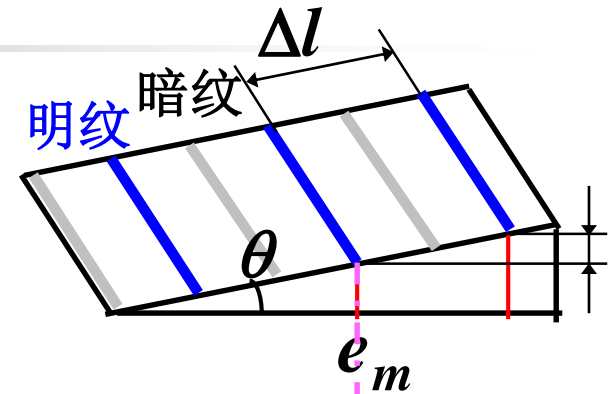
条纹的移动 反映膜的厚度变化

$$2ne_m + \frac{\lambda}{2} = m\lambda \quad (m=1,2,3,\dots)$$

条纹疏密的变化

反映楔角的改变

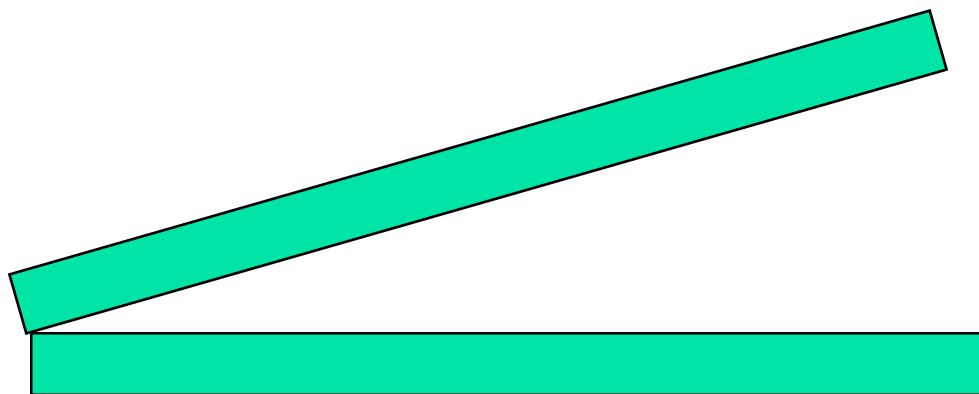
条纹间距  $\Delta l \approx \frac{\lambda}{2n\theta}$



盯住某一级，  
看这一级对应的厚度在哪

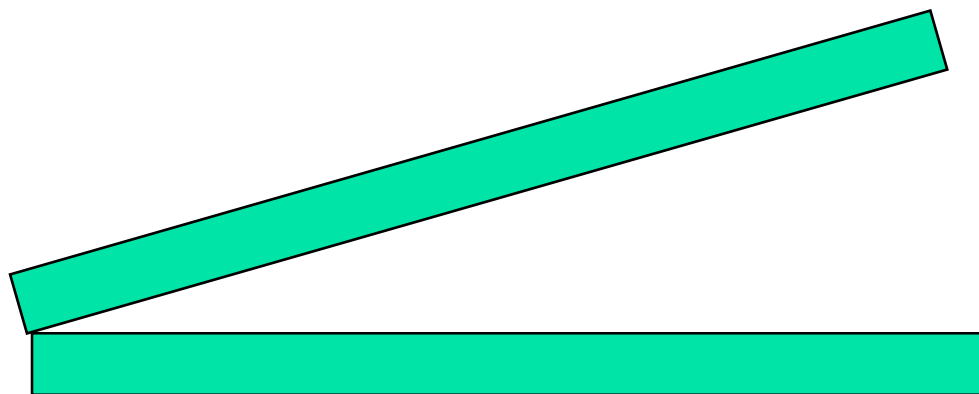
## § 2.6 等倾条纹和等厚条纹

夹角变小，条纹变宽，条纹向右移动



## § 2.6 等倾条纹和等厚条纹

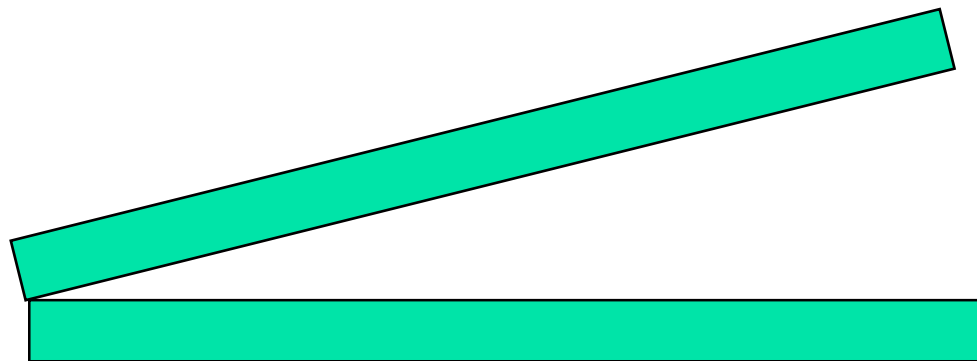
夹角变小，条纹变宽，条纹向右移动





## § 2.6 等倾条纹和等厚条纹

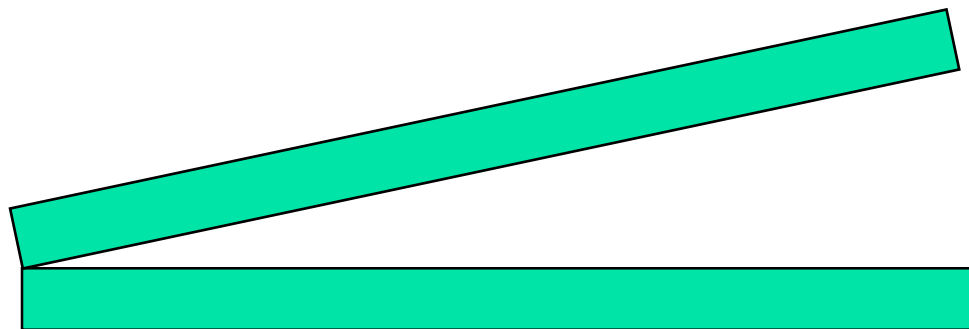
夹角变小，条纹变宽，条纹向右移动





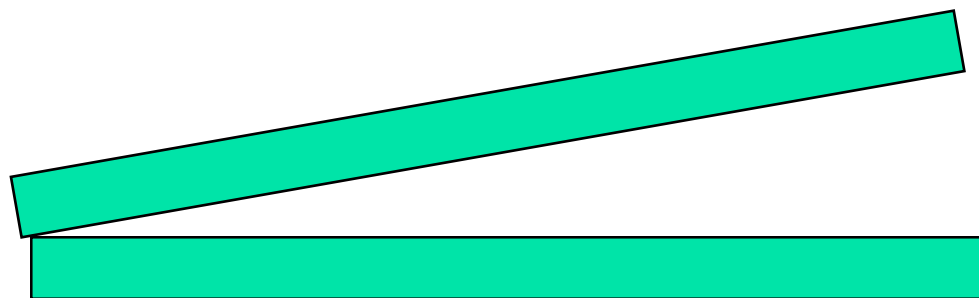
## § 2.6 等倾条纹和等厚条纹

夹角变小，条纹变宽，条纹向右移动



## § 2.6 等倾条纹和等厚条纹

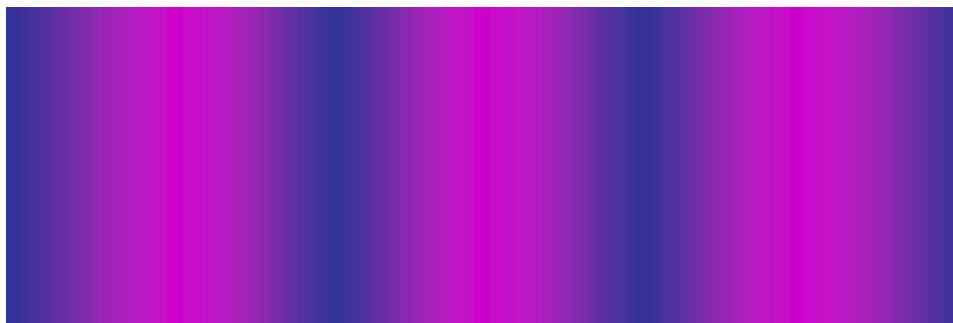
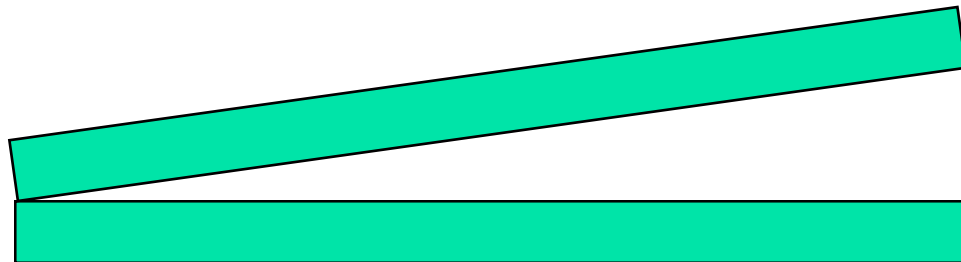
夹角变小，条纹变宽，条纹向右移动





## § 2.6 等倾条纹和等厚条纹

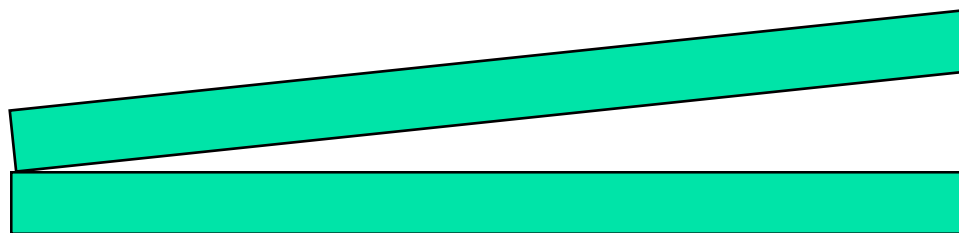
夹角变小，条纹变宽，条纹向右移动





## § 2.6 等倾条纹和等厚条纹

夹角变小，条纹变宽，条纹向右移动

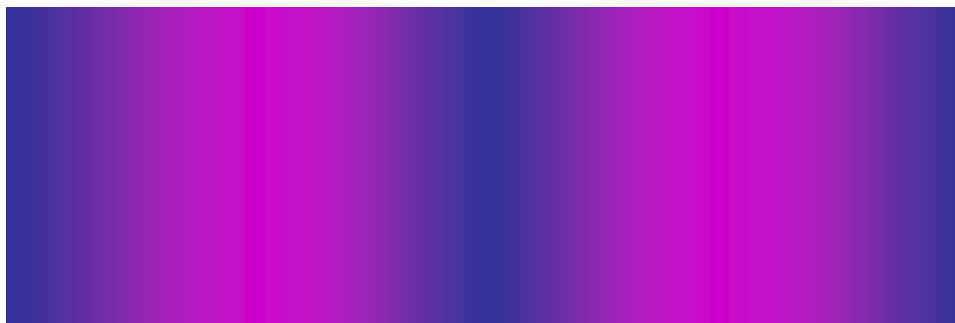
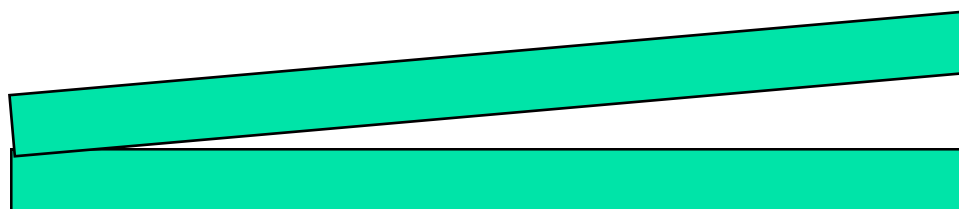






## § 2.6 等倾条纹和等厚条纹

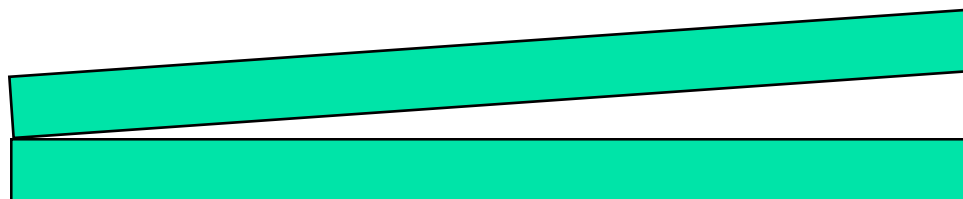
夹角变小，条纹变宽，条纹向右移动





## § 2.6 等倾条纹和等厚条纹

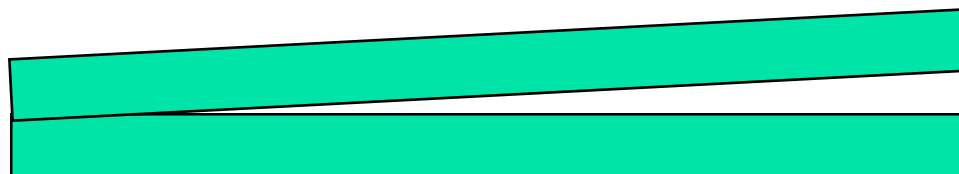
夹角变小，条纹变宽，条纹向右移动





## § 2.6 等倾条纹和等厚条纹

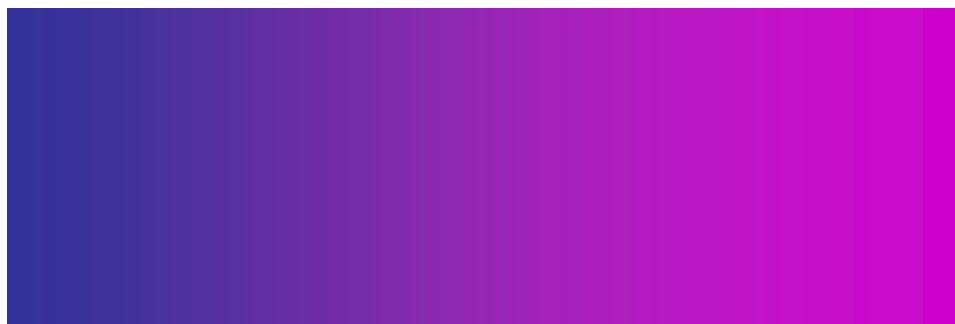
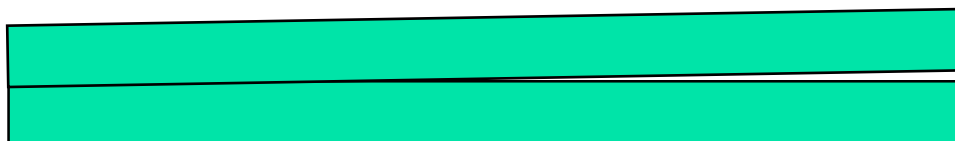
夹角变小，条纹变宽，条纹向右移动





## § 2.6 等倾条纹和等厚条纹

夹角变小，条纹变宽，条纹向右移动





## § 2.6 等倾条纹和等厚条纹

夹角变小，条纹变宽，条纹向右移动

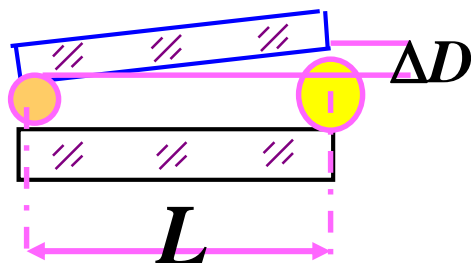
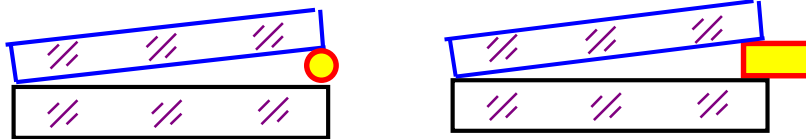


## § 2.6 等倾条纹和等厚条纹

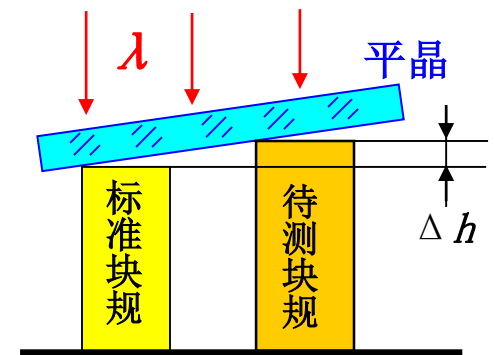
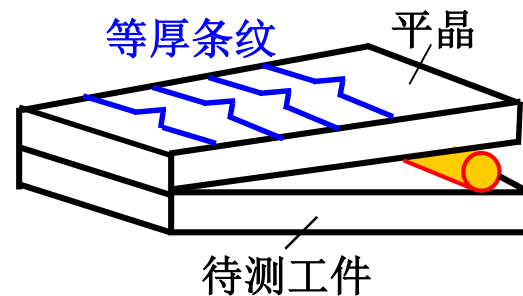
### ■ ii ° 等厚干涉的应用

- 测波长
- 测折射率
- 测细小直径、厚度、微小变化

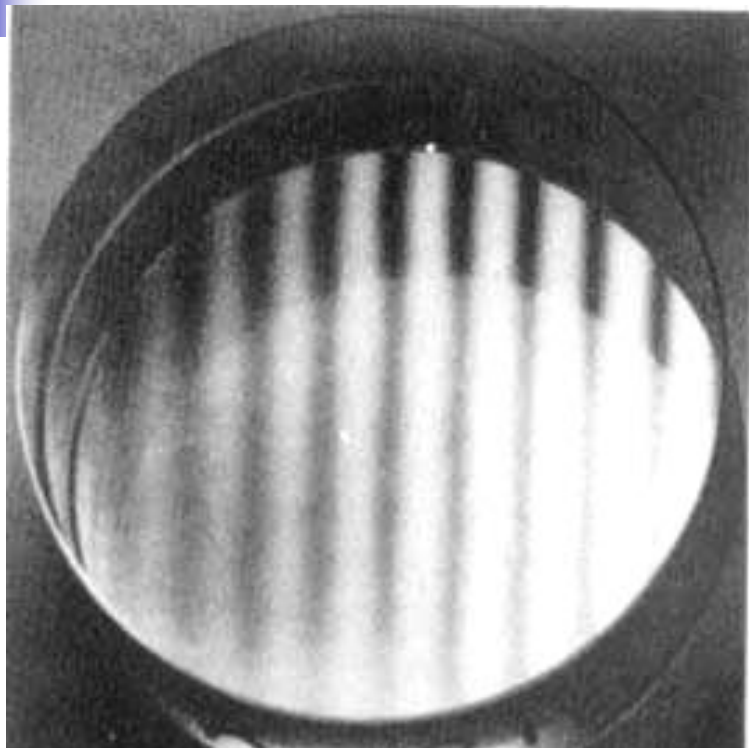
$$\Delta l \approx \frac{\lambda}{2n\theta}$$



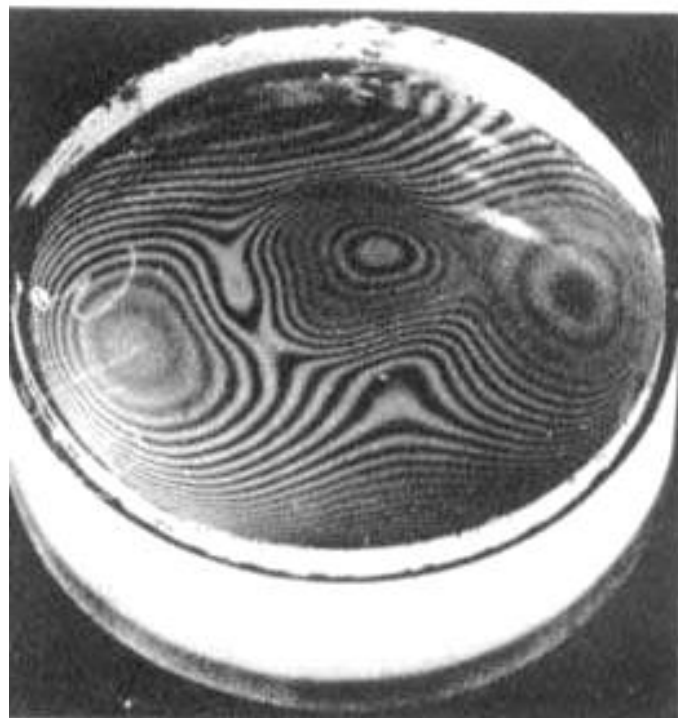
- 测表面不平度



## § 2.6 等倾条纹和等厚条纹



劈尖



不规则表面

等厚干涉条纹

利用劈尖的等厚干涉可以测量很小的角度。今在玻璃劈尖上，垂直入射波长为  $5893\text{\AA}$  的钠光，测得相邻暗条纹间距为  $5.0\text{mm}$ ，若玻璃的折射率为 1.52，求此劈尖的夹角。

解：

$$\begin{aligned}\theta \approx \sin \theta &= \frac{\lambda}{2nl} = \frac{5.893 \times 10^{-4}}{2 \times 1.52 \times 5.0} = 3.88 \times 10^{-5} \text{ rad} \\ &= 8''\end{aligned}$$



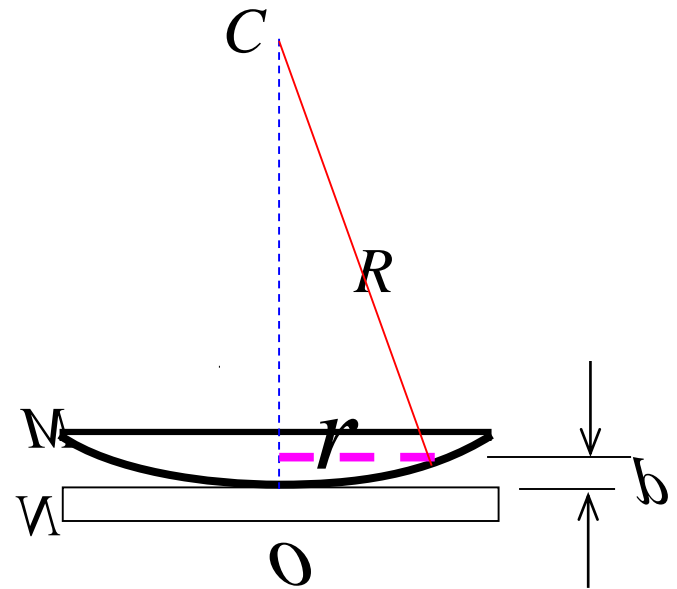
■ iii° 牛顿环

若在一平晶上放置一 $R$ 很大的平凸透镜，则两面之间形成的空气契能实现等厚干涉。称为**牛顿环**。

**分析**  $\Delta L \sim d$ ，条纹是同心圆

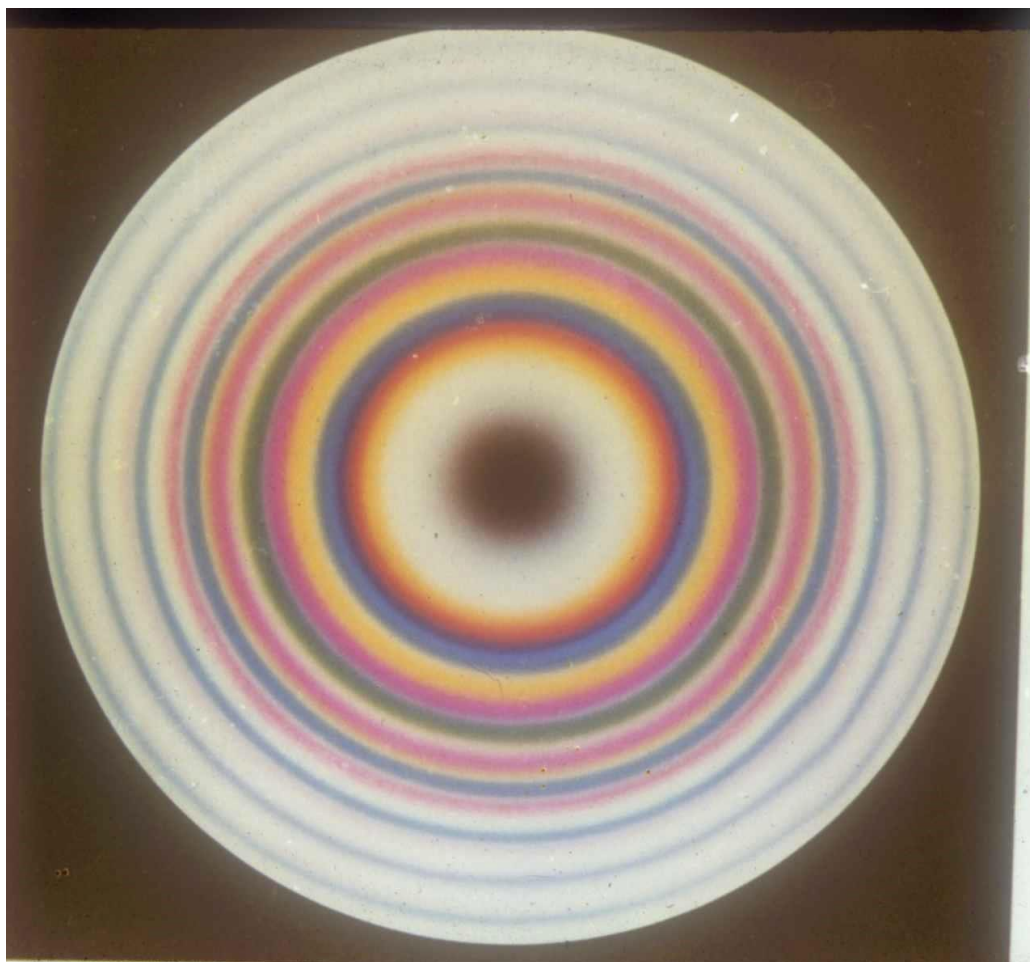
中心处， $\Delta L = \lambda/2 \rightarrow$  暗条纹

定义为零级



## § 2.6 等倾条纹和等厚条纹

白光入射的牛顿环照片



## § 2.6 等倾条纹和等厚条纹

在实际观察中常测牛顿环的半径 $r$   
它与 $d$ 和凸球面的半径 $R$  的关系：

$$r^2 = R^2 - (R - d)^2 = 2Rd - d^2$$

略去二阶小量 $d^2$ 得：

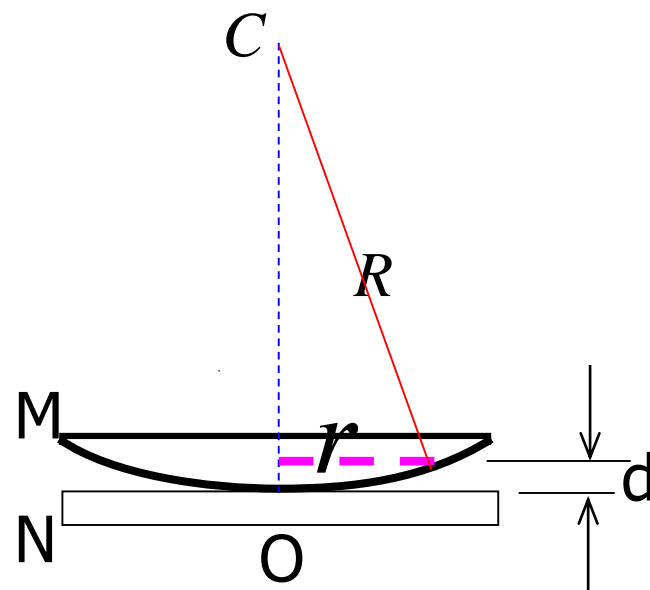
$$d = r^2 / 2R$$

对于暗纹，其光程差满足

$$\Delta L = 2d + \lambda/2 = (2k+1)\lambda/2$$

$$r = \sqrt{kR\lambda} \quad k = 0, 1, 2, 3 \dots$$

牛顿环中心为暗环，级次最低。离开中心愈远，程差愈大，圆条纹间距愈小，即愈密。其透射光也有干涉，明暗条纹互补。



- 例：用牛顿环测定单色光的波长，若测得某一明环的直径为  $3.00\text{mm}$ ，在它外面的第五个明环直径为  $4.60\text{mm}$ ，所用平凸透镜的曲率半径为  $1.03\text{m}$ 。试求该单色光的波长。

解：  $\because$  第  $k$  级明环半径为  $r_k^2 = \frac{2k-1}{2} R\lambda$

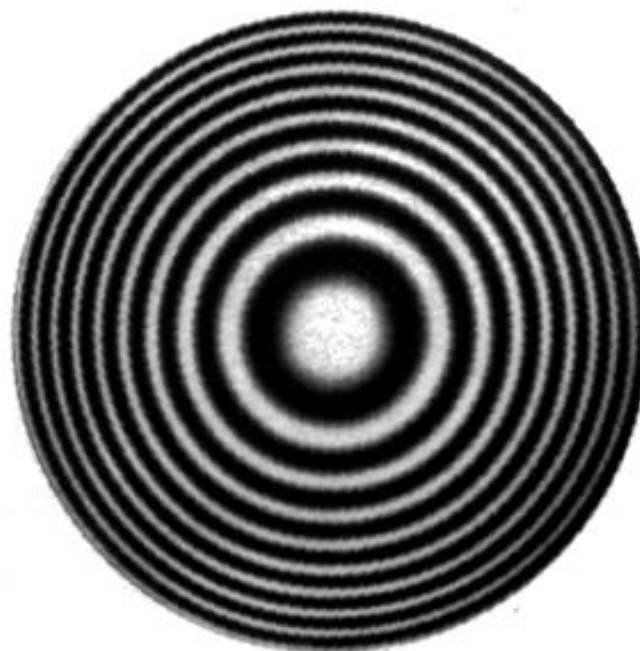
$$\therefore r_{k+5}^2 - r_k^2 = 5R\lambda .$$

$$\therefore \lambda = \frac{r_{k+5}^2 - r_k^2}{5R} = 5.90 \times 10^{-4} \text{ mm} .$$

从透射光中观察干涉条纹，  
中心为亮斑

透镜曲率半径变小时

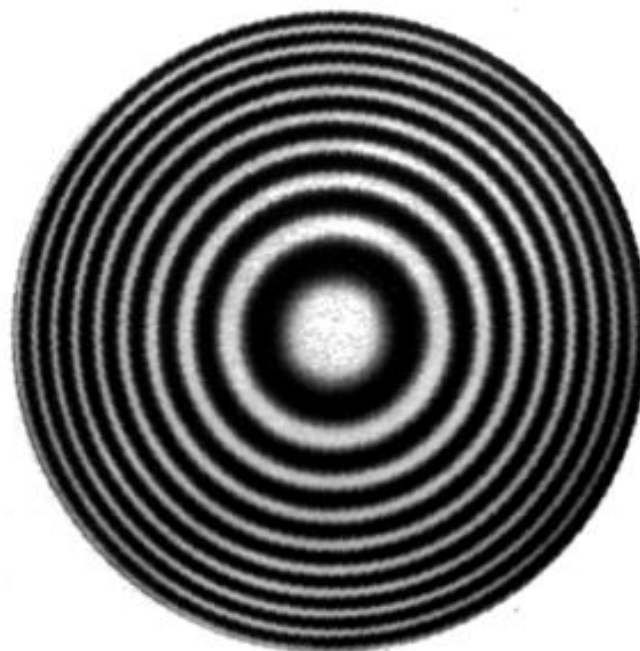
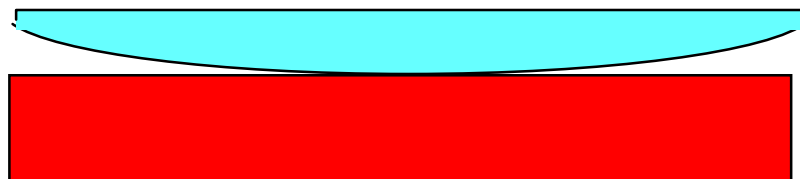
干涉条纹变密



从透射光中观察干涉条纹，  
中心为亮斑

透镜曲率半径变小时

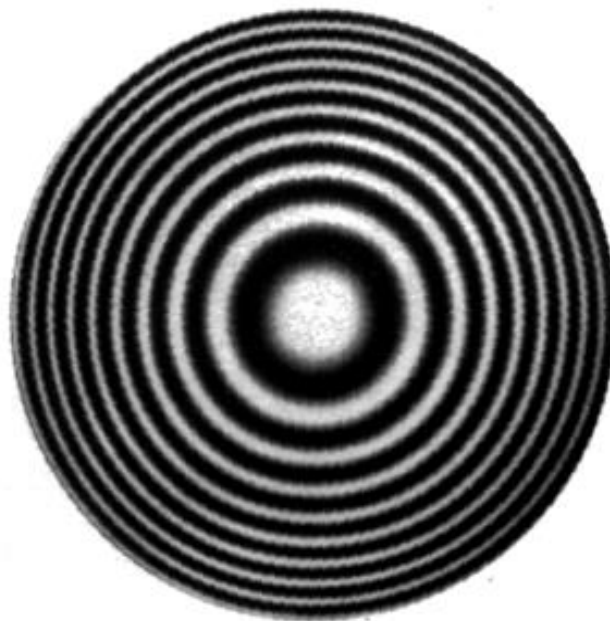
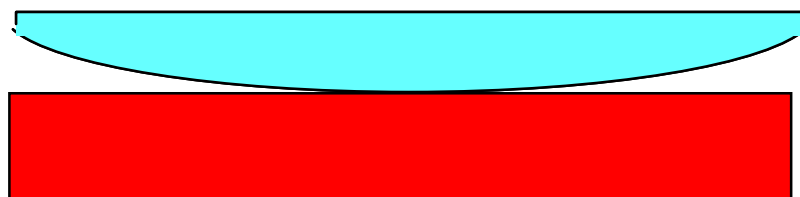
干涉条纹变密



# 从透射光中观察干涉条纹， 中心为亮斑

透镜曲率半径变小时

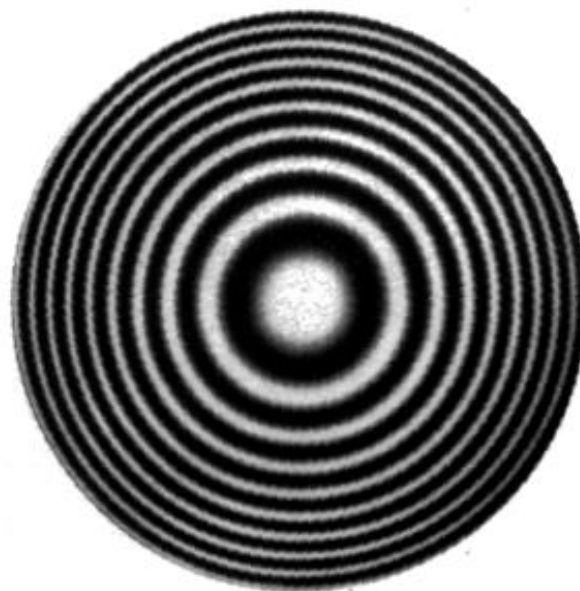
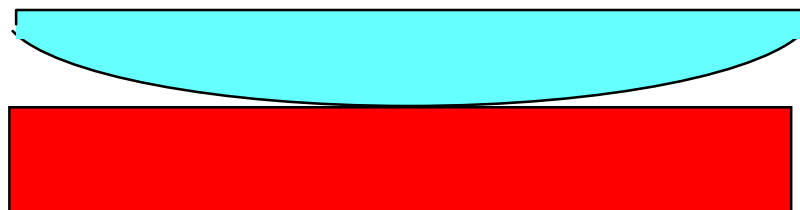
干涉条纹变密



# 从透射光中观察干涉条纹， 中心为亮斑

透镜曲率半径变小时

干涉条纹变密

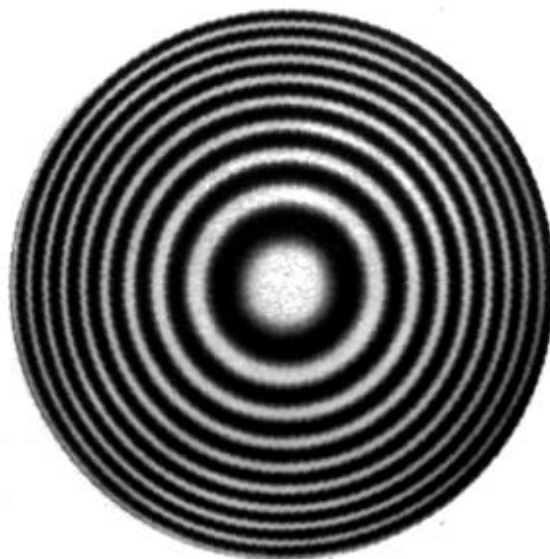
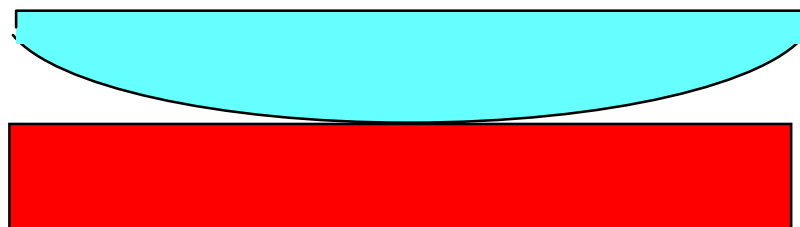




从透射光中观察干涉条纹，  
中心为亮斑

透镜曲率半径变小时

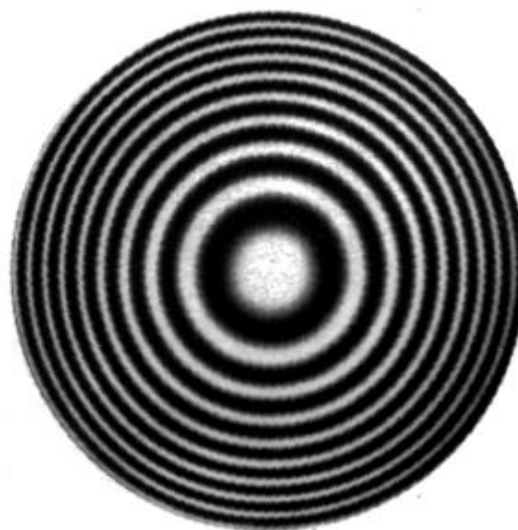
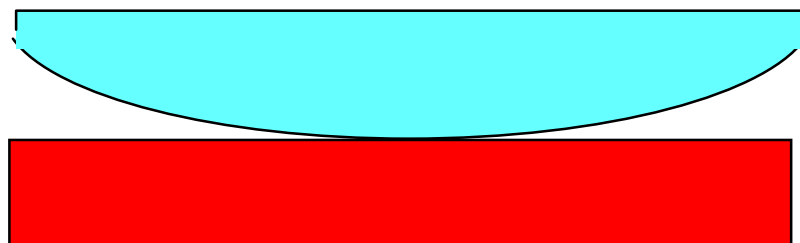
干涉条纹变密



# 从透射光中观察干涉条纹， 中心为亮斑

透  
镜  
曲  
率  
半  
径  
变  
小  
时

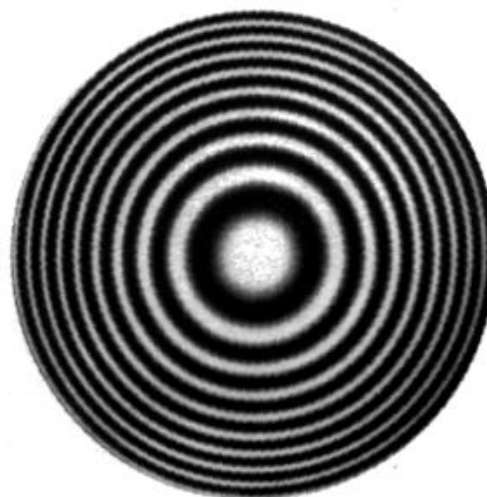
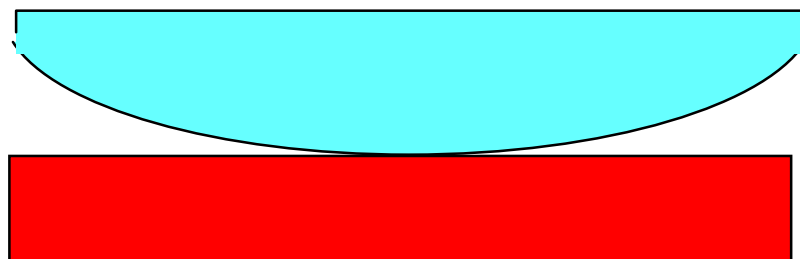
干  
涉  
条  
纹  
变  
密



# 从透射光中观察干涉条纹， 中心为亮斑

透镜曲率半径变小时

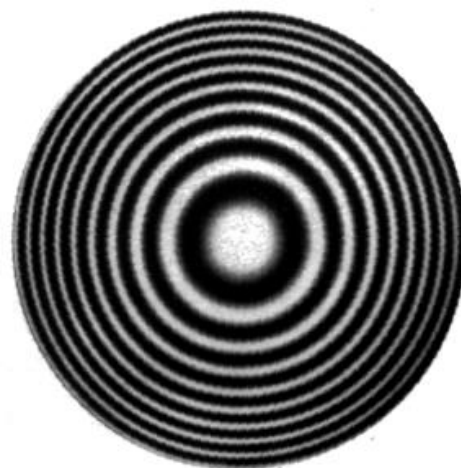
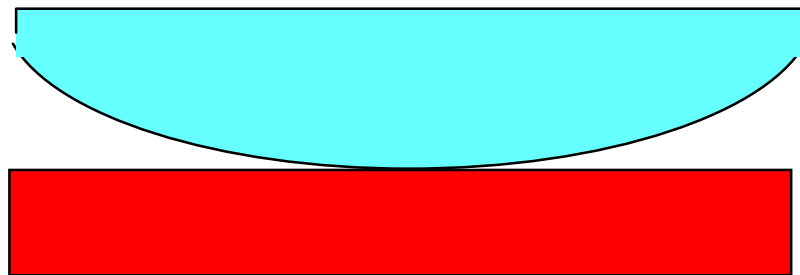
干涉条纹变密



# 从透射光中观察干涉条纹， 中心为亮斑

透镜曲率半径变小时

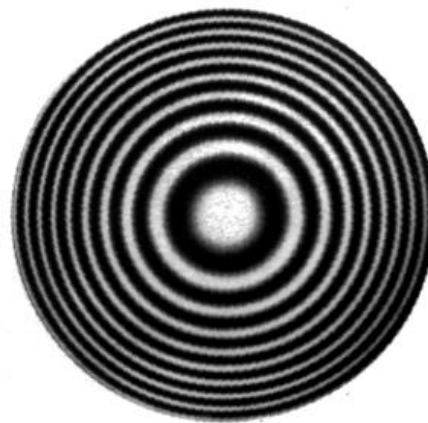
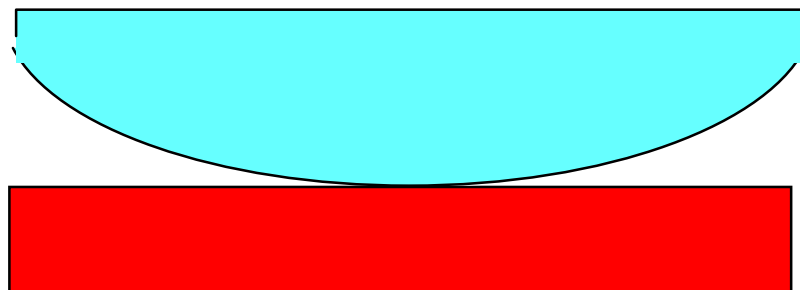
干涉条纹变密



从透射光中观察干涉条纹，  
中心为亮斑

透镜曲率半径变小时

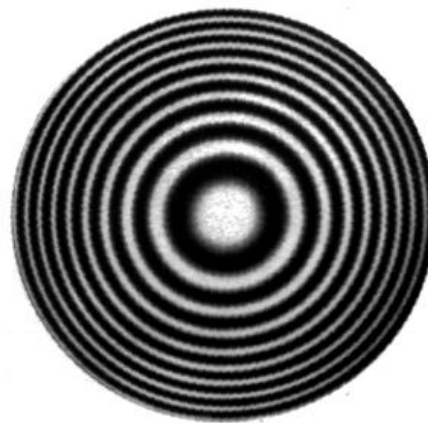
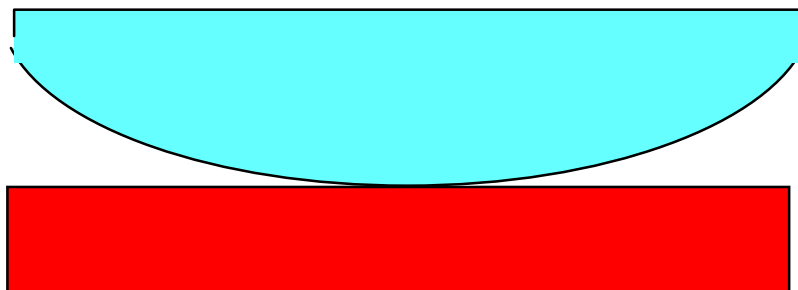
干涉条纹变密



从透射光中观察干涉条纹，  
中心为亮斑

透镜曲率半径变小时

干涉条纹变密



## § 2.6 等倾条纹和等厚条纹

### ■ 牛顿环的应用

依据公式  $r_{k+m}^2 - r_k^2 = mR\lambda$

#### ▲ 测透镜球面的半径 $R$

已知  $\lambda$ ，测  $m$ 、 $r_{k+m}$ 、 $r_k$ ，可得  $R$ 。

#### ▲ 测波长 $\lambda$

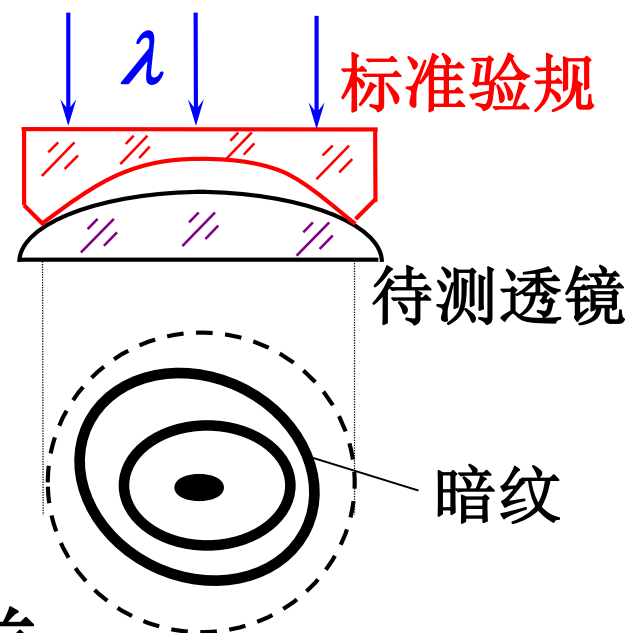
已知  $R$ ，测出  $m$ 、 $r_{k+m}$ 、 $r_k$ ，可得  $\lambda$ 。

#### ▲ 检验透镜球表面质量

若条纹如图，说明待测透镜

球表面不规则，且半径有误差。

一圈条纹对应  $\frac{\lambda}{2}$  的球面半径误差。



思考

如何区分如下两种情况？

